

Ladder 回路의 伝達函數를 求하는 新로운 方法 (A Novel Method Finding Transfer Function of General Multimesh Ladder Network)

韓 壽*, 李 相 培*

(Han, Hee and Lee, Sang -Bae)

要 約

一般的인 ladder回路의 伝達函數를 構成하는 各項들 間의 關係로부터 傳達函數의 數學的인 公式을 誘導하였다. 이 公式的 性質로부터 段階의인 減縮法을 開發하였으며 觀察에 依해서 傳達函數를 求할 수 있는 方法을 提示하였다.

Abstract

A mathematical formula for transfer functions of general multimesh ladder is introduced in terms of series branch impedances and shunt admittances.

From the properties of the mathematical formula, a method finding transfer function is developed by reduction methods and the inspection method is also developed.

I. 序 論

一般的인 ladder回路의 伝達函數는 node 方程式, mesh方程式^[1]回路網topology方法^[2]에 依하거나 入出力點에서 부터 始作하여 電流와 電壓의 連續的인 適用^[3~5] 등에 依해서 解析되고 있다. 이 外에도 實驗的 法則^[6]과 數學的인 公式^[7]이 오직 두가지 種類의 素子로만 構成된 ladder回路에 對해서 提示되어 왔다. 또 最近에는 積線圖에 依한 方法이 紹介된 바 있다. 그러나 이같은 方法들은 어느 程度의 複雜한 計算을 要求해 왔다. 本論文에서는 ladder回路의 伝達函數를 이루는 各項들의 關係를 考察하여 傳達函數의 數學的인 公式을 誘導해내고 이 公式을 變形하여 段階의인 減縮에 依한 新로운 方法을 試圖하였다.

II. 伝達函數를 為한 數學的인 公式

그림 1과 같이 直列素子는 임피던스 Z 로, 並列素子는 어드미턴스 Y 로 表示하며 각각 n 個의 素子를 갖는 ladder回路에서, 各 마디에서 右側으로 부 傳達 어드미턴스를 求하면 아래와 같은 표 1을 얻을 수 있다. 이表에서 一個의 素子로 構成된 項은

마디 n 에서 : Y_n

마디 $n-1$ 에서 : $Y_{n-1} + Y_n$

마디 $n-2$ 에서 : $Y_{n-2} + Y_{n-1} + Y_n$

마디 $n-3$ 에서 : $Y_{n-3} + Y_{n-2} + Y_{n-1} + Y_n$

⋮

마디 1에서 : $Y_1 + Y_2 + Y_3 + \dots + Y_{n-1} + Y_n$

이를 一般化하면

$$\text{一個素子로 된 項} = \sum_{i=1}^n Y_i$$

또, 三個素子로 된 項은

마디 $n-1$ 에서 : $Y_{n-1} Z_n Y_n$

마디 $n-2$ 에서 : $Y_{n-2} [Z_{n-1} (Y_{n-1} + Y_n)] + Y_{n-2} Z_n$

* 正會員, 延世大學校 電子工學科

(Dept. of Electronic Engineering, Yonsei Univ.)

接受日字: 1979年 11月 29日

• (Y_n)] + 마디 $n - 1$ 에서의 項

$$\vdots + Y_{n-3}Z_{n-2}Y_{n-1}[Z_n(Y_n)] + Y_{n-3}Z_{n-1}$$

• $\nabla \cdot [Z_1(\mathbf{X})] + \text{단단} = m^2$ 에서 얻어지는

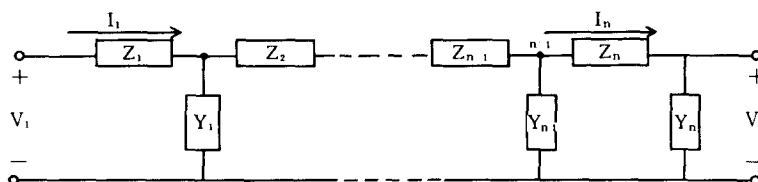


그림 1. 一般的의인 ladder 회로

Fig. 1. General ladder network.

표 1. 각 마디에서 우측으로 본 전달 어드미턴스

마디	내	용
n		Y_n
$n-1$	$Y_{n-1}[Z_n(Y_n)]$	Y_{n-1} 마디 n 의項
$n-2$	$Y_{n-2}[Z_{n-1}(Y_{n-1}+Y_n)]$ $Y_{n-2}Z_{n-1}Y_{n-1}[Z_n(Y_n)]$	$Y_{n-2}[Z_n(Y_n)]$ Y_{n-2} 마디 $n-1$ 의項
$n-3$	$Y_{n-3}[Z_{n-2}(Y_{n-2}+Y_{n-1}+Y_n)]$ $Y_{n-3}[Z_{n-1}(Y_{n-1}+Y_n)]$ $Y_{n-3}Z_{n-2}Y_{n-2}[Z_{n-1}(Y_{n-1}+Y_n)]$ $Y_{n-3}Z_{n-2}Y_{n-2}[Z_n(Y_n)]$ $Y_{n-3}Z_{n-2}Y_{n-2}[Z_n(Y_n)]$ $Y_{n-3}Z_{n-2}Y_{n-2}Z_{n-1}Y_{n-1}[Z_n(Y_n)]$ $Y_{n-3}Z_{n-2}Y_{n-2}Z_{n-1}Y_{n-1}[Z_n(Y_n)]$	마디 $n-2$ 의項
\vdots	\vdots	\vdots
1	\vdots	\vdots

$$\begin{aligned} \text{마디 } n-3 \text{에서: } & Y_{n-3} - [Z_{n-2}(Y_{n-2} + Y_{n-1} + Y_n)] + Y_{n-3} \\ & + [Z_{n-1}(Y_{n-1} + Y_n)] + Y_{n-3}[Z_n(Y_n)] + \dots \end{aligned}$$

: 마디 $n-2$ 에서의 項

$$\text{마디 1 예서: } Y_1[Z_2(Y_2+Y_3+\dots+Y_n)] + Y_1[Z_3(Y_3+Y_4+\dots+Y_n)] \vdots + Y_1[Z_n(Y_n)] + \text{마디 2 예서의 項}$$

만찬가지로 이른 一般化한 면

$$\text{三個素子로 된 항 } = \sum_{i=1}^{n-1} Y_i \sum_{j=i+1}^n Z_j \sum_{k=j}^n Y_k$$

$$= \sum_{i=1}^n Y_i \sum_{j=i+1}^n Z_j \sum_{k=j}^n Y_k \text{ 가 되며}$$

五個素子另列一項

만약 $n=2$ 일 때 : $Y_{n-2}Z_{n-1}Y_{n-1}[Z - (Y_n)]$

마디 $n=3$ 에서 : $Y_{n-3}Z_{n-2}Y_{n-2}[Z_{n-1}(Y_{n-1}+Y_n)]$

$$\vdots + Y_{n-2} Z_{n-2} Y_{n-2} [Z_n(Y_n)]$$

마디 1에서 : $Y_1 Z_2 Y_2 \lceil Z_2 (Y_3 + \dots + Y_r)$

$Y_1 Z_{n-1}, Y_{n-1} | Z_n(Y_n)]$ + 만더 2에선의 項

이를一般化하면

$$\text{五个因子로 된 항} = \sum_{i=1}^n Y_i - \sum_{j=i+1}^n Z_j + \sum_{k=j}^n Y_k - \sum_{l=k+1}^n Z_l$$

$\sum_{m=l}^n Y_m \circ$ 되며 마찬가지 방법으로

七個素子로 된 項 = $\sum_{i=1}^n Y_i \sum_{j=i+1}^n Z_j \sum_{k=j}^n Y_k \sum_{l=k+1}^n Z_l$,
 $\sum_{m=l}^n Y_m \sum_{p=m+1}^n Z_p \sum_{q=p}^n Y_q$ 를 얻을 수

있게 되어 $2N$ 個의 素子를 갖는 ladder 回路에서의 最大項인 $2N - 1$ 個의 素子로 되 項은

ΣY , ΣZ , $\Sigma Y \dots \Sigma Z \Sigma Y$ 를 얻을 수 있다.

여기서 다음과 같은 定義를 하면

〈정의 1〉

$\sum Z_i \otimes \sum Y_j \otimes \sum Z_k = \sum Z_i + \sum Z_i \sum Y_j + \sum Z_i \sum Y_j \sum Z_k$
傳達어드미턴스는 아래와 같이 表示된다.

$$I_1(s) \setminus V_n(s) = \text{一個素子項} + \text{三個素子項} + \dots$$

$$= \sum_{i=1}^n Y_i \otimes \sum_{j=1}^n Z_j \sum_{k=1}^n Y_k \otimes \sum_{l=1}^n Z_l \sum_{m=1}^n Y_m$$

예) $n=4$ 와 경우를 예로써 살펴보면

$$I_1(s) \cdot V_4(S) = \sum_{i=1}^4 Y_i \otimes \sum_{j=i-1}^4 Z_j \otimes \sum_{k=j}^4 Y_k \otimes \sum_{l=k+1}^4 Z_l \otimes \sum_{m=l}^4 Y_l \otimes \dots \sum_{n=m+1}^4 Z_p \otimes \sum_{q=n}^4 Y_q$$

가 되며 이들을 $i, j, k, l, \dots, n, p, q$

m, p, q 的 변화에 따른 圖表와 결과를 表示하면 아래와 같다. 즉, 표 2에 依해서

$$\begin{aligned} I_1(s) / V_4(s) &= Y_1 Z_2 Y_2 Z_3 Y_3 Z_4 Y_4 + Y_1 Z_2 Y_2 Z_3 Y_3 + Y_1 Z_2 \\ &\quad Y_2 Z_3 Y_4 + Y_1 Z_2 Y_2 Z_4 Y_4 + Y_1 Z_2 Y_2 + Y_1 \\ &\quad Z_2 Y_3 Z_4 Y_4 + Y_1 Z_2 Y_3 + Y_1 Z_2 Y_4 + Y_1 Z_2 \\ &\quad Y_3 Z_4 Y_4 + Y_1 Z_3 Y_3 + Y_1 Z_3 Y_4 + Y_1 Z_4 Y_4 \\ &\quad + Y_1 + Y_2 Z_3 Y_3 Z_4 Y_4 + Y_2 Z_3 Y_3 + Y_2 Z_3 Y_4 \\ &\quad + Y_2 Z_4 Y_4 + Y_2 + Y_3 Z_4 Y_4 + Y_3 + Y_4 \dots (2) \end{aligned}$$

표 2. 변수 변화에 따른 傳達函數의 各項

변수	내										총
i	1	1	1	1	1	1	1	1	1	1	1
j	2	2	2	2	2	2	2	3	3	3	4
k	2	2	2	2	2	3	3	4	3	3	4
l	3	3	3	4	4			4			
m	3	3	4	4	4			4			
p	4										
q	4										
i	2	2	2	2	2	3	3	4			
j	3	3	3	4		4					
k	3	3	4	4			4				
l	4										
m	4										

I. Graph 를 利用한 단계적인 감축법

다음을 계속하기 전에 아래와 같은 정의를 하자.

<정의 2>

$$\begin{aligned} S \langle 2, n \rangle &= 2 \times 3 \times 4 \times \dots \times (n-1) \times n = Y_1 Z_2 Y_2 \\ &\dots \dots \dots Y_{n-1} Z_n Y_n \end{aligned}$$

위와 같은 연산 $s \langle \alpha, \beta \rangle$ 를 α 에서 β 까지의 “연속곱”이라고 부르기로 한다. (예) $s \langle 2, 4 \rangle = Y_1 Z_2 Y_2$

<정의 3>

$$\begin{aligned} \sum_{r=\alpha, \alpha+1}^{n-1, n} \frac{1}{s \langle r \rangle} &+ \frac{1}{s \langle \alpha, \alpha+1 \rangle} + \frac{1}{s \langle \alpha+1, \alpha+2 \rangle} \\ &+ \dots \dots \dots + \frac{1}{s \langle n-1, n \rangle} \end{aligned}$$

위와 같은 관계에 해당하는 연산을 “연속제산의 합”이라고 부르기로 한다.

$$\begin{aligned} (\text{예}) \sum_{r=2, 3}^{3, 4} \frac{1}{s \langle r \rangle} &= \frac{1}{s \langle 2, 3 \rangle} + \frac{1}{s \langle 3, 4 \rangle} \\ &= \frac{1}{Y_1 Z_2} + \frac{1}{Y_2 Z_3} \end{aligned}$$

정의 2와 정의 3을 사용하여 표 2를 나타내면

$$\begin{aligned} I_1(s) / V_4(s) &= s \langle 2, 8 \rangle + \frac{s \langle 2, 8 \rangle}{s \langle 2, 3 \rangle} + \frac{s \langle 2, 8 \rangle}{s \langle 3, 4 \rangle} \\ &+ \frac{s \langle 2, 8 \rangle}{s \langle 4, 5 \rangle} + \frac{s \langle 2, 8 \rangle}{s \langle 5, 6 \rangle} \\ &+ \frac{s \langle 2, 8 \rangle}{s \langle 6, 7 \rangle} + \frac{s \langle 2, 8 \rangle}{s \langle 7, 8 \rangle} \\ &+ \frac{\alpha_1}{s \langle 4, 5 \rangle} + \frac{\alpha_1}{s \langle 5, 6 \rangle} \\ &+ \frac{\alpha_1}{s \langle 6, 7 \rangle} + \frac{\alpha_1}{s \langle 7, 8 \rangle} \\ &+ \frac{\alpha_2}{s \langle 5, 6 \rangle} + \frac{\alpha_2}{s \langle 6, 7 \rangle} \\ &+ \frac{\alpha_2}{s \langle 7, 8 \rangle} + \frac{\alpha_3}{s \langle 6, 7 \rangle} \\ &+ \frac{\alpha_3}{s \langle 7, 8 \rangle} + \frac{\alpha_4}{s \langle 7, 8 \rangle} \\ &+ \frac{\beta_1}{s \langle 6, 7 \rangle} + \frac{\beta_1}{s \langle 7, 8 \rangle} \\ &+ \frac{\beta_2}{s \langle 7, 8 \rangle} + \frac{\beta_3}{s \langle 7, 8 \rangle} \end{aligned}$$

$$\left. \begin{aligned} \text{단, } \frac{s \langle 2, 8 \rangle}{s \langle 2, 3 \rangle} &= \alpha_1 \quad \frac{s \langle 2, 8 \rangle}{s \langle 3, 4 \rangle} = \alpha_2 \quad \frac{s \langle 2, 8 \rangle}{s \langle 4, 5 \rangle} = \alpha_3 \\ \frac{s \langle 2, 8 \rangle}{s \langle 5, 6 \rangle} &= \alpha_4 \quad \frac{\alpha_1}{s \langle 4, 5 \rangle} = \beta_1 \quad \frac{\alpha_1}{s \langle 5, 6 \rangle} = \beta_2 \\ \frac{\alpha_2}{s \langle 5, 6 \rangle} &= \beta_3 \end{aligned} \right)$$

따라서 상기의 결과는 아래와 같이 표시된다.

$$I_1(s) / V_4(s) = s \langle 2, 8 \rangle \otimes \sum_{r=2, 3}^{7, 8} \frac{1}{s \langle r \rangle} \otimes \sum_{k=r+1}^{7, 8} \frac{1}{s \langle k \rangle}$$

$$\otimes \sum_{l=k+1}^{7, 8} \frac{1}{s \langle l \rangle}$$

이것을 n 에 대해서一般화하면 (1)식의 변형된 풀인 (2)식을 얻을 수 있다.

$$\begin{aligned} I_1(s) / V_n(s) &= s \langle 2, n \rangle \otimes \sum_{r=2, 3}^{n-1, n} \frac{1}{s \langle r \rangle} \otimes \\ &\quad \sum_{k=r+1}^{n-1, n} \frac{1}{s \langle k \rangle} \underbrace{\otimes \dots \dots \dots}_{n/2-1 \text{個의 項}} \dots \dots \dots (3) \end{aligned}$$

상기의 (3)식에서 첫 항은 연속곱으로서 Y_1 부터 모든 素子를 곱한 것이고 첫항과 둘째항은 연소제산의 합으로서 연속곱을 처음부터 연속된 두개의 변수로 계속 나누어간 값의 합이다. 이것은 바꾸어 말하면 Y_1 부터 연속된 두개의 소자를 제외(감축)시킨 나머지에 대한 합을 뜻한다. 또, 세 번째항은 1차연속제산의 합을 각각의 감축시킨 나머지 부분에 대해서 다시 치례로 연속된 2개의 素子를 감축 시켜서 (2차감축), 그나마

지 부분에 대한 꼽을 행하는 것이다. 이 때 $i + 1$ 차 감축은 i 차 감축이 끝난 바로 다음 素子에서부터 시작됨을 알 수 있다. 그러므로 $i + 1$ 차 감축은 i 차 감축이 끝난 항들 중에서 적어도 2개 이상의 역으로 연속된 素子를 갖는 항들에 대해서만 행하여 진다는 것을 알 수 있다. 차후부터는 이처럼 2개 이상의 감축할 여분의 素子를 포함한 항을 i 차 주간류항이라고 부르기로 한다.

이상의 고찰을 토대로하면 단계적인 감축에 대해서 (1), (3)式을 만족하는 결과를 얻을 수 있게 된다.

(a) $n = 4$ 인 경우

$$s < 2, 8> = Y_1 Z_2 Y_2 Z_3 Y_3 Z_4 Y_4 \longrightarrow 7 \text{ 個素子項}$$

<1 차 감축>

감축素子	1 차	간류항
$Y_1 Z_2$	$Y_1 Z_3 Y_3 Z_4 Y_4$	
$Z_2 Y_2$	$Y_1 Z_3 Y_3 Z_4 Y_4$	
$Y_2 Z_3$	$Y_1 Z_2 Y_3 Z_4 Y_4$	
$Z_3 Y_3$	$Y_1 Z_2 Y_2 Z_4 Y_4$	
$Y_3 Z_4$	$Y_1 Z_2 Y_2 Z_3 Y_4$	
$Z_4 Y_4$	$Y_1 Z_2 Y_2 Z_3 Y_3$	

1 차 간류항은
5 個素子項이
된다.

<2 차 감축>

1 차 감축소자	2 차 간류항			
	$Y_2 Z_3$	$Z_3 Y_3$	$Y_3 Z_4$	$Z_4 Y_4$
$Y_2 Z_3 Y_3 Z_4 Y_4$	$Y_3 Z_4 Z_4$	$Y_2 Z_4 Z_4$	$Y_2 Z_3 Y_4$	$Y_2 Z_3 Y_3$
$Y_1 Z_3 Y_3 Z_4 Y_4$	$Y_1 Z_4 Z_4$	$Y_1 Z_3 Y_4$	$Y_1 Z_3 Y_3$	
$Y_1 Z_2 Y_3 Z_4 Y_4$		$Y_1 Z_2 Y_4$	$Y_1 Z_2 Y_3$	
$Y_1 Z_2 Y_3 Z_4 Y_4$			$Y_1 Z_2 Y_2$	

2 차
간류항은
3 個素
子項이
된다.

<3 차 감축>

2 차 감축소자	3 차 간류항	
	$Y_3 Z_4$	$Z_4 Y_4$
$Y_3 Z_4 Y_4$	Y_4	Y_3
$Y_2 Z_4 Y_4$		Y_2
$Y_1 Z_4 Y_4$		Y_1

3 차
간류항은
1 個素子項이
된다.

3 차 간류항에서는 더 이상 감축을 할 수가 없으므로 감축은 여기서 끝난다. 이상의 1, 2, 3 차 간류항과 7 個素子項을 모두 더하면 (2)式과一致함을 볼 수 있다.

IV. 觀察에 依한 方法

1 차 연속제산의 합, 즉 1 차 감축의 합은 상기의 그림 (a)에서와 같이 차례로 $Y_1 Z_2, Z_2 Y_2, Y_2 Z_3, \dots$ 등을 감축시키고 그나머지인 $Y_2 Z_3 Y_3 Z_4 Y_4, Y_1 Z_3 Y_3 Z_4 Y_4, Y_1 Z_2 Y_3 Z_4 Y_4, \dots$ 등을 모두 합한 것이며 2 차

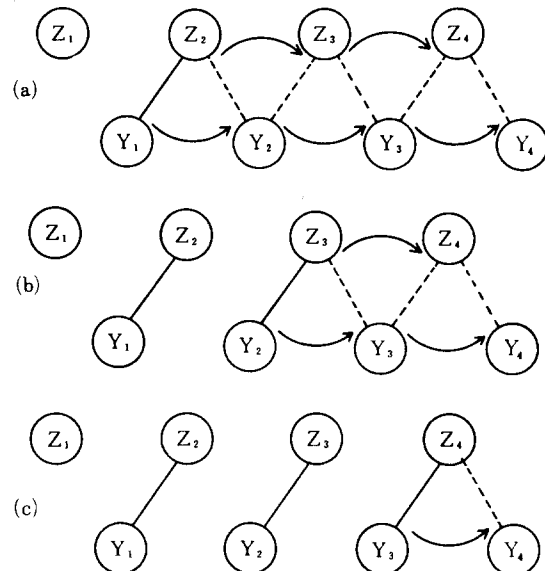


그림 2. 실제 회로에서의 감축

(a) 1 차 감축 (b) 2 차 감축 (c) 3 차 감축

Fig. 2. Reduction in the network.

- (a) First reduction
- (b) Second reduction
- (c) Third reduction

감축의 합은 그림 2(b)에서와 같이 1 차 감축을 행한 나머지 부분 즉, $Y_1 Z_2$ 를 1 차로 감축했을 때 나머지인 $Y_2 Z_3 Y_3 Z_4 Y_4$, 에 대해서 다시 차례로 $Y_2 Z_3, Z_3 Y_3, \dots$ 등을 감축하고 나머지들의 꼽을 모두 더한 것이다 또한 이 같은 과정은 1 차 감축시에 $Z_2, Y_2, Y_2 Z_3, \dots$ 등을 감축했을 경우에도 마찬가지로 적용된다 또, 3 차 감축의 합은 2 차 감축을 행한 회로의 나머지 부분에 대하여 그림 2(c)와 같이 2 차 감축을 행한 나머지 부분 즉, 1 차로 $Y_1 Z_2$, 2 차로 $Y_2 Z_3$ 를 감축했을 경우, 나머지 부분인 $Y_3 Z_4 Y_4$ 에서 차례로 $Y_3 Z_4, Z_4 Y_4$ 를 감축한 결과인 Y_3, Y_4 의 합이 되며 이 같은 과정은 2 차 감축시의 각 경우에 대해서도 마찬가지로 적용된다.

그러므로 이상의 내용을 정리하면

$I_1(S)/V_n(S)$ 는 아래와 같이 된다.

- (1). Y_1 부터 Y_n 까지의 연속 꼽 $s < 2, n >$ 을 행한다.
- (2). Y_1 부터 차례로, 연속된 2 개의 素子를 제외 시켜 가며 나머지 모두를 꼽한다.
- (3). (2)에서 행한 1 차 감축의 우반부를 다시 한 쌍의 연속된 素子들을 제외 시켜 가며 나머지 모두를 꼽한다.
- (4). 상기의 과정을 더 행할 수 없을 때까지 계속한다.

* * *

지금까지 살펴본 보는 과정을 $V_1(S)/V_n(S)$ 에 대해

Ladder 回路의 傳達函數을 求하는 新しい 方法

서도 적용하면

$$\begin{aligned} V_1(s)/V_n(s) &= Z_1 I_1(s) + Z_2 I_2(s) + \dots + Z_{n-1} I_{n-1}(s) + Z_n I_n(s) + 1 \\ &= \sum_{h=1}^n Z_h \sum_{i=h}^n Y_i \otimes \sum_{j=i+1}^n Z_j \sum_{k=j}^n Y_k \otimes \dots + 1 \\ &= s < 1, n > \otimes \sum_{r=1,2}^{n-1,n} \frac{1}{s < r >} \otimes \sum \dots + 1 \end{aligned}$$

을 염을 수가 있으며 감축에 의한 방법과 觀察에 依해서 傳達函數를 求할 경우는 Z_1 的 素子에서 부터 始作하여 실시한 결과에 1 을 더하면 된다.

V. 結論

直列素子는 임피던스 並列素子는 어드미턴스로 表示된一般的인 ladder 回路에서의 전달함수를 求하는 數學的인 公式과 단계적인 減縮法, 그리고 복잡한 연산과정을 거치지 않고 觀察에 依해서 傳達函數를 求하는 방법을 제시하였다.

Ladder 回路에서 각 마디에서 右側으로 바라본 傳達 어드미턴스의 數學的인 公式을 誘導하기 위해서 傳達 어드미턴스를 이루는 項들을 같은 個數의 素子로 이루어진 項들끼리 分類하여 이들의 관계를 一般化하였다. 또한, 이렇게 하여 이루어진 公式을 변형하여 段階的인 減縮에 依한 새로운 方法을 개발 하였으며 이 같은 方法이 實際의 回路에서 갖는 意味를 減縮의 各 過程別로 觀察함으로서一般的인 ladder 回路의 傳達函數가 이제까지의 방법들처럼 複雜한 연산過程을 거치지 않고서도 觀察만에 依하여 손쉽게 求해질 수가 있음을 보였다.

參考文獻

1. A.T.Starr, "Electric Circuits and wave Filters," pitman & Sons Ltds., London, England ; 1948.

2. G.H.Burchill, "A signal flow graph method for determining ladder network functions," proc. IRE (Correspondence), vol. 48, pp. 1175 ; June, 1960.
3. N. Beam, "A method of calculating the transfer function of ladder networks," proc. IEE, vol. 108, pp. 354 - 358 : Sept., 1961.
4. M.E.Van Valkenburg, "Network Analysis," Prentice Hall, Inc. Englewood Cliffs, N.J. : 1958.
5. F.F.Kuo & G.H.Leichner, "An iterative method of determining ladder network functions," proc. IRE (correspondence), vol. 47, pp. 1783 - 1784, Oct. 1959.
6. S.C.D.Roy, "A method of determining the terminal impedance and transfer functions of general multimesh ladder networks containing two kinds of elements only," Indian J. phys., vol. 36, pp. 469 - 483 ; Sept. 1962.
7. S.C.O.Roy, "Formulas for the Terminal Impedance and Transfer Functions of General Multimesh Ladder Networks," proc. IEEE vol. 52, No. 6, June 1964.

